## Особенности генерации волноводных мод в многоямных гетеролазерах

С.М. Некоркин<sup>1,\*</sup>, Н.В. Байдусь<sup>1,§</sup>, А.В. Самарцев<sup>1</sup>, К.С. Жидяев<sup>1</sup>, А.Б. Чигинева<sup>1</sup>, А.Н. Орлова<sup>1</sup>, Д.А. Павлов<sup>1</sup>, А.А. Афоненко<sup>2</sup>, Д.В. Ушаков<sup>2</sup>

- 1 Нижегородский государственный университет им. Н.И. Лобачевского, просп. Гагарина, 23/3. Нижний Новгород, 603950, Россия.
- 2 Белорусский государственный университет, просп. Независимости, 4, Минск, 220030, Беларусь.

В работе приводятся результаты сравнительного анализа двух конструкций гетеролазеров, содержащих в волноводном слое десять InGaAs/GaAs квантовых ям сдвинутых к р-эмиттеру. В зависимости от конструктивных особенностей лазеров генерация излучения может осуществляться как на поперечных модах 2-4 порядка, так и на модах с признаками их локализации в окрестности квантовых ям, что в свою очередь приводит к существенному изменению электрофизических характеристик гетеролазеров.

В последнее время возрастает интерес к гетеролазерам с увеличенной активной областью на основе квантовых ям (КЯ) [1, 2]. Настоящая работа посвящена исследованию спектральных, пространственных и энергетических характеристик двух конструкций гетеролазеров, содержащих в волноводном слое десять InGaAs/GaAs квантовых ям, сдвинутых к р-эмиттеру.

## Исследуемые образцы и методы исследования

Методом МОС-гидридной эпитаксии при пониженном давлении на подложке n<sup>+</sup>-GaAs были выращены две лазерные гетероструктуры с активными областями, состоящими из десяти InGaAs/GaAs квантовых ям с компенсирующими слоями GaAsP (структура 1 и структура 2). Квантовые ямы были сдвинуты к р-эмиттеру. Общая толщина GaAsволновода с КЯ и толщины n<sup>+</sup>-AlGaAs (p<sup>+</sup>-AlGaAs) ограничительных слоев составляли 4,3 и по 0,55 мкм соответственно. Волноводные слои не легировались и имели величину фоновой концентрации носителей n-типа порядка  $1,0\times10^{16}$  см<sup>-3</sup>. Для снижения заселенности волноводных слоев и уменьшения поглощения носителями в волноводе структуры 2 перед квантовыми ямами на расстоянии 100 нм со стороны п-эмиттера был встроен тонкий слой (15 нм) n-InGaP с концентрацией носителей  $1,0\times10^{18}$  см<sup>-3</sup>, решёточно-согласованный с GaAs. Содержание фосфора в компенсирующем слое GaAsP в структуре 2 составляло 5-6%, что в 2 раза меньше, чем в подобном слое структуры 1, а доля индия в КЯ структуры 2 на 2-3 % больше, чем в КЯ структуры 1. На выращенных структурах формировалась меза-полосковая геометрия активной области путем химического травления эпитаксиальных слоёв до волновода с последующей ионной имплантацией вытравленной области. Ширина активных полосок составляла 170 мкм, расстояние между полосками - 30 мкм. На основе полученных гетероструктур были изготовлены лазерные диоды с длиной резонатора 2 мм и двумя мезаполосковыми контактами с общей шириной активной области на излучающей грани 340 мкм (170 + 170 мкм). На излучающие грани диэлектрические зеркала не наносились.

Лазерные структуры исследовались методом просвечивающей электронной микроскопии (ПЭМ). Проведены исследования спектральных зависимостей, диаграмм направленности и ватт-амперных характеристик (ВтАХ) изготовленных лазеров. Для наблюдения и фотографирования излучающей грани лазерных диодов использовалась ССД камера, встроенная в оптический микроскоп МИИ-4. Для устранения засветки камеры использовались спектральные фильтры. Токовая накачка лазеров осуществлялась в импульсно-периодическом режиме (200 нс; 1,43 кГц).

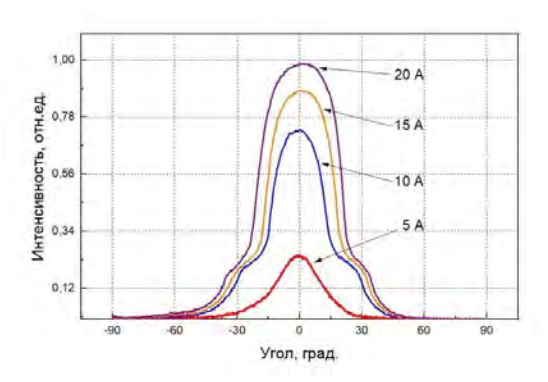
## Результаты и обсуждение

Метод ПЭМ подтвердил заданную геометрию эпитаксиальных слоев на обеих структурах. Дефекты и дислокации при этом не наблюдались.

Из-за различия содержания индия в КЯ в выращенных структурах максимумы генерации лазерных диодов имели разные значения: для структуры 1 типичный максимум генерации соответствовал 1,01 мкм, а для структуры 2-1,05 мкм.

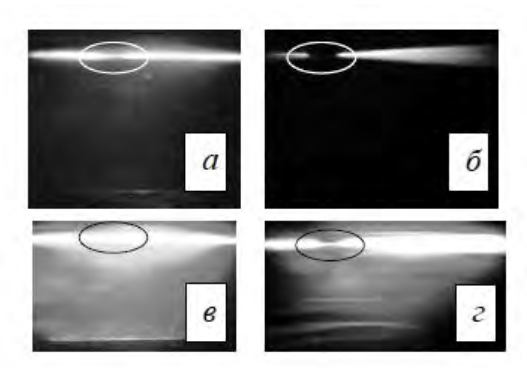
<sup>\*</sup>nekorkin@nifti.unn.ru §bnv@nifti.unn.ru

Угловые зависимости интенсивности излучения в плоскости, перпендикулярной р-п-переходу лазерных диодов структуры 1 после начала стимулированной генерации лазеров, имели двухлепесковый вид (с провалом в нулевой компоненте), соответствующий моде второго порядка. Подобная диаграмма направленности наблюдалась в многоямном лазере схожей конструкции с InGaP слоем, предназначенным для снижения заселенности волноводных слоёв [1]. При увеличении тока накачки ширина диаграммы на полувысоте имеет тенденцию к уширению за счет генерации мод более высокого порядка. Диаграммы направленности лазерных диодов структуры 2 кардинально отличаются от лазерных диодов структуры 1 (рис. 1). Характерные интенсивности излучения имеют ярко выраженную нулевую компоненту, а при увеличении токовой накачки формируется симметричный «пьедестал», образованный двумя максимами с углами  $\pm 30^{\circ}$ .



**Рис. 1.** Характерные интенсивности излучения лазерного диода структуры 2 от угла при разных токах накачки

Место локализации волноводных мод изготовленных лазеров было исследовано с помощью оптического микроскопа со встроенной ССД камерой (рис. 2). В качестве индикатора места локализации волноводных мод использовалась вытравленная вдоль резонатора со стороны р-эмиттера тридцатимикронная канавка, проникающая в волноводные слои, но не доходящая до излучающих слоев. Уверенная засветка частично вытравленных волноводных слоев наблюдалась на грани лазерных диодов в структуре 1 вследствие распространения излучающих мод в волноводных слоях как в допороговом, так и в послепороговом режимах токовой накачки. В структуре 2 в допороговом режиме накачки засветка вытравленной области не наблюдалась, а в послепорогом режиме засветка наблюдалась с интенсивностью, позволяющей наблюдать вытравленную область во всем диапазоне токовой накачки. Эксперимент позволил предположить, что волноводные моды в структуре 2 локализованы в районе квантовых ям.



**Рис. 2.** Микрофотографии излучающей грани лазерных диодов, сделанные в допороговом и послепороговом режимах накачки *а*, *б* и *в*, *е* соответственно: *а* и *в* – структура 1, *б* и *е* – структура 2. Овалом отмечены вытравленные области между активными полосками

Анализ ВтАХ показал значительное различие рабочих характеристик исследуемых лазеров, как в отношении достижения мощности излучения, так и в отношении порогового тока. Пороговый ток структуры 1 соответствовал 15 А, а лазерных диодов структуры 2-5 А. При этом максимально достижимая мощность излучения для структуры 1 составляла 9,5 Вт, а для структуры 2 - не более 6,5 Вт. Такое поведение ВтАХ наряду с результатом эксперимента по определению места излучения волноводных мод могут свидетельствовать в пользу их локализации в окрестностях квантовых ям в структуре 2. В этом случае возникает большой параметр оптического ограничения и, как следствие, меньший пороговый ток. Локализация моды вблизи р-эмиттера ведёт к большим внутренним потерям на поглощение свободными носителями, что в свою очередь не позволяет получить значительную выходную мощность. Симметричная диаграмма направленности может свидетельствовать о проявлении волноводного эффекта квантовых ям. Этому способствует уменьшенное количество фосфора в компенсирующем слое, увеличение концентрации индия в квантовых ямах в структуре 2, а также пониженная концентрация носителей заряда в волноводе.

## Литература

- 1. Некоркин С.М. и др. // XXIV Междунар. симп. «Нанофизика и наноэлектроника», Т.2, 679 (2020).
- 2. Некоркин С.М. и др. // XXV Междунар. симп. «Нанофизика и наноэлектроника», Т.2, 780 (2021).